

ПАРАМЕТРЫ МАШИН ПОСТОЯННОГО ТОКА ПРИ ПЕРЕХОДЕ ОТ ОБЫЧНОЙ КОММУТАЦИИ К ВЕНТИЛЬНО-МЕХАНИЧЕСКОЙ

О. А. Братковский, В. В. Ивашин, И. А. Милорадов

(Представлена научным семинаром кафедр электрических машин
и общей электротехники)

Рассмотрим изменение параметров машины постоянного тока при переходе от обычной схемы коммутации (рис. 1) к одной из перспективных схем вентильно-механической коммутации (ВМК) (рис. 2) с включением вентилей в коммутируемую секцию на весь период ее замыкания подразделенной щеткой и с загрузкой вентиляй полным током щеточного бракета [1]. Предполагается, что основные параметры (мощность, напряжение, скорость вращения, число полюсов, геометрия и основные размеры активных частей, диаметр коллектора) остаются неизменными. В дальнейшем параметры машины с обычной коммутацией обозначаются индексом «1», а машины с ВМК — индексом «2».

Исходные положения

Введем следующие обозначения: b — ширина щеток, β — число коллекторных пластин, перекрываемых щеткой, t — коллекторное деление, Z — число пазов якоря, U_n — число коллекторных пластин на паз.

В машинах с обычной коммутацией

$$\frac{b_1}{t_1} = \beta_1 > 1, \quad (1)$$

В схеме ВМК (рис. 2) коллектор сдвоенный и состоит из чередующихся рабочих и холостых пластин одинакового размера. При этом

$$\frac{b_2}{t_2} = \beta_2 = 1, \quad (2)$$

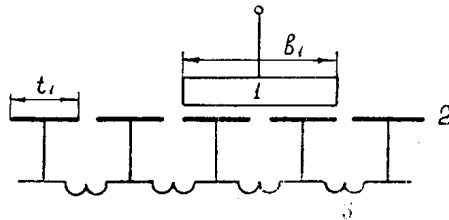


Рис. 1. Обычная схема коммутации:
1 — щетка, 2 — коллектор, 3 —
секция якоря

Известно [2], что каждому диаметру якоря соответствует свое оптимальное число пазов. Поэтому если Z_1 выбрано правильно, то необходимо, чтобы при переходе в ВМК

$$Z_2 \approx Z_1. \quad (3)$$

Принимая во внимание, что обычно отношение $\frac{u_{n1}}{\beta_1}$ достаточно близко к единице, с учетом (1) — (3) можно записать

$$\frac{b_2}{b_1} \approx \frac{u_{n1} \cdot z_1 \cdot \beta_2}{u_{n2} \cdot z_2 \cdot \beta_1} \approx \frac{1}{u_{n2}}. \quad (4)$$

Из (4) видно, что для принятых условий b_2/b_1 не может быть больше единицы. По соображениям наименьшей плотности тока в щеточном контакте из (4) получаем исходные соотношения для перехода к схеме ВМК (рис. 2):

$$b_2 \approx b_1, \quad U_{n2} = 1. \quad (5)$$

В отдельных случаях возможны отклонения от (5), однако наибольший интерес представляет анализ изменения параметров при условии

$$b_2 = b_1, \quad (6)$$

$$U_{n2} = 1. \quad (7)$$

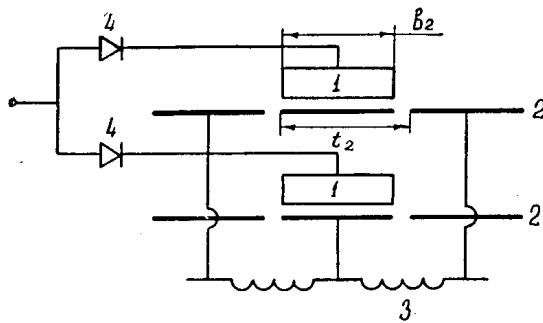


Рис. 2. Схема вентильно-механической коммутации: 1 — подразделенная щетка, 2 — сдвоенный коллектор, 3 — секция якоря, 4 — вентиль

Число коллекторных пластин (K)

С учетом (2), (6) получаем число рабочих коллекторных пластин на сдвоенном коллекторе (рис. 2)

$$K_2 = \frac{K_1}{\beta_1}. \quad (8)$$

K_2 необходимо округлять до ближайшего четного знака. При этом получим $b_2 \neq b_1$. Однако этим изменением, ввиду его малости, при дальнейшем анализе можно пренебречь.

Плотность тока в щеточном контакте ($j_{щ}$) и длина коллектора

Рассмотрим только простейший случай — прямолинейную коммутацию, когда плотность тока в щеточном контакте машины с ВМК постоянна и равна

$$j_{\text{щ2}} = \frac{I_{\text{щ2}}}{S_{\text{щ2}}} .$$

Учитывая, что $I_{\text{щ2}} = I_{\text{щ1}}$ и $b_2 = b_1$, получаем

$$\frac{j_{\text{щ2}}}{j_{\text{щ1}}} = \frac{l_{\text{щ1}}}{l_{\text{щ2}}} \approx \frac{l_k}{l_{k2}} . \quad (9)$$

Здесь $I_{\text{щ}}$ — максимальный ток через щетку, $S_{\text{щ}}$ — площадь контакта щетки с коллектором, $l_{\text{щ}}$ — длина щетки (рис. 3), l_k — длина рабочей поверхности одного коллектора (рис. 3).

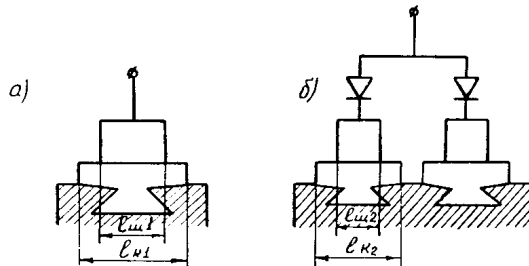


Рис. 3. Расположение щеток на коллекторе при обычной коммутации (а) и при ВМК (б)

Число пазов якоря (z)

Учитывая (2), получаем

$$z_2 = \frac{u_{n1}}{\beta_1 \cdot u_{n2}} \cdot z_1 = \frac{u_{n1}}{\beta_1} \cdot z_1 . \quad (10)$$

Обмотка якоря

В машинах со схемой ВМК (рис. 2) принципиально возможно применение как петлевых, так и волновых обмоток (рассматриваются однодоходовые обмотки). Но при ВМК число секций обмотки (как и число рабочих коллекторных пластин) должно быть четным. Это требование накладывает определенное ограничение на соотношение числа коллекторных пластин K_2 и числа пар полюсов p_2 .

Ширина коммутационной зоны (b_{k3})

Учитывая, что

$$b_{k3} = b \frac{D}{D_k} + \left(u_n + \varepsilon_k - \frac{a}{p} \right) t \cdot \frac{D}{D_k} , [2],$$

$$t \approx \frac{b}{\beta} , \quad D_2 = D_1 , \quad D_{k2} = D_{k1} , \quad \beta_2 = 1 ,$$

после преобразования получаем

$$b_{k32} = \frac{1 + \left(u_{n2} + \varepsilon_{k2} - \frac{a_2}{p_2} \right)}{1 + \left(u_{n1} + \varepsilon_{k1} - \frac{a_1}{p_1} \right) \frac{1}{\beta_1}} \cdot b_{k31} . \quad (11)$$

Здесь a — число пар параллельных ветвей обмотки якоря,
 p — число пар полюсов машины;
 D — диаметр якоря,
 D_k — диаметр коллектора,
 ε — укорочение шага обмотки в коллекторных делениях.

В табл. 1 приведены подсчитанные по (11) с учетом (2), (6) значения b_{k32}/b_{k31} для наиболее распространенных пределов изменения параметров: $U_{n1}=2-4$; $\beta_1=(0,75-1,0)U_{n1}$; $\varepsilon_k \leq U_n$; $\varepsilon_{k1}=0-(2-4)$; $\varepsilon_{k2}=0-1$; $p_2=p_1=1-3$; $\frac{a_1}{p_1} = \frac{a_2}{p_2} = 1; 1/3$.

Т а б л и ц а 1

Род обмотки	U_{n1}	β_1	b_{k32}/b_{k31}	
			$\varepsilon_{k2}=0$	$\varepsilon_{k2}=1$
Петлевая $\frac{a}{p} = 1$	2	1,5—2	0,333—0,667	0,667—1,334
	4	3—4	0,3—0,572	0,6—1,144
Волновая $\frac{a}{p} = 1/3$	2	1,5—2	0,489—0,91	0,775—1,450
	4	3—4	0,47—0,87	0,750—1,390

Число витков в секции (W_s)

Так как при переходе к ВМК эдс якоря не изменяется, а подразделенность якорной обложки уменьшается в k_2/k_1 раз, то с учетом (2)

$$w_{s2} = \frac{a_2 \cdot K_1}{a_1 \cdot K_2} \cdot w_{s1} = \frac{a_2}{a_1} \cdot \beta_1 \cdot w_{s1}. \quad (12)$$

Активное сопротивление секции (r_s)

В первом приближении можно считать, что при переходе к ВМК остаются неизменными коэффициент заполнения медью активного слоя, средняя длина витка, температура обмотки якоря, а сечение эффективного проводника изменяется пропорционально a_2/a_1 .

$$r_{s2} = \frac{a_2 \cdot w_{s2}}{a_1 \cdot w_{s1}} \cdot r_{s1} = \left(\frac{a_2}{a_1} \right)^2 \cdot \beta_1 \cdot r_{s1}. \quad (13)$$

Индуктивность секции (L_s)

Известно [3], что

$$\begin{aligned} L_s &= 2w_s^2 \cdot l \cdot \lambda, \\ \lambda &= \lambda_n + \lambda_{lb} \cdot \frac{l_{lb}}{l}, \end{aligned} \quad (14)$$

где l — длина пакета якоря, l_{lb} — длина лобовой части секции, λ — удельная магнитная проводимость секции (на единицу длины пакета якоря) без учета взаимоиндукции с другими секциями в пазу; λ_n , λ_{lb} — магнитные проводимости пазовой и лобовой части секции на единицу их длины.

При переходе к ВМК с учетом (12) получаем

$$L_{S2} = \frac{W_{S2}^2 \lambda_2}{W_{S1}^2 \cdot \lambda_1} \cdot L_{S1} = \left(\frac{a_2}{a_1} \cdot \beta_1 \right)^2 \cdot \frac{\lambda_2}{\lambda_1} L_{S1}.$$

В первом приближении

$$\frac{\lambda_2}{\lambda_1} = 1; \quad L_{S2} = \left(\frac{a_2}{a_1} \cdot \beta_1 \right)^2 \cdot L_{S1}. \quad (15)$$

Результирующая индуктивность секции (L_{sp})

Сравнение проведем на базе общепринятых положений прямолинейной коммутации [3].

По аналогии с (14) имеем

$$L_{sp} = 2 \cdot W_s^2 \cdot l \cdot \xi, \quad (16)$$

$$\xi = \lambda'_n + \lambda_{lb} \cdot \frac{l_{lb}}{l} = k' \cdot \lambda_n + \lambda_{lb} \cdot \frac{l_{lb}}{l}.$$

Здесь

ξ — средняя удельная магнитная проводимость секции (на единицу длины ее пазовой части) с учетом взаимоиндукции,

λ'_n — средняя удельная магнитная проводимость пазовой части секции с учетом взаимоиндукции,

k' — коэффициент, учитывающий изменение λ_n из-за наличия взаимоиндукции.

При переходе к ВМК, учитывая (16), получаем

$$L_{sp2} = \frac{W_{S2}^2 \frac{\xi_2}{\xi_1}}{W_{S1}^2 \frac{\xi_2}{\xi_1}} \cdot L_{sp1} = \left(\frac{a_2}{a_1} \cdot \beta_1 \right)^2 \cdot \frac{\xi_2}{\xi_1} \cdot L_{sp1}.$$

Для анализа в первом приближении можно принять

$$\lambda_{lb2} \cdot \frac{l_{lb2}}{l_2} \approx \lambda_{lb1} \cdot \frac{l_{lb1}}{l_1} \approx 0; \quad \lambda_{n2} = \lambda_{n1}.$$

В этом случае

$$\frac{\xi_2}{\xi_1} = \frac{k'_2}{k'_1}; \quad L_{sp2} = \left(\frac{a_2}{a_1} \cdot \beta_1 \right)^2 \cdot \frac{k'_2}{k'_1} \cdot L_{sp1}. \quad (17)$$

На основании данных [2] в табл. 2 приведены пределы изменения отношения k'_2/k'_1 при $U_{n1}=2-4$; $\beta_1=(0,75-1,0)U_{n1}$; $\varepsilon_{k1}=0-(2-4)$; $\varepsilon_{k2}=0-1$.

Таблица 2

U_{n1}	β_1	k'_2/k'_1	
		$\varepsilon_{k2}=0$	$\varepsilon_{k2}=1$
2	1,5-2 3-4	0,668-1,330 0,364-0,750	0,333-0,665 0,182-0,375
4			

Коммутирующая эдс в секции (e_k)

При прямолинейной коммутации

$$e_k = L_{sp} \cdot \frac{2i_a}{T},$$

где i_{a2} — ток в параллельной ветви обмотки якоря,

T — период коммутации секции.

При переходе к ВМК

$$i_{a2} = i_{a1} \cdot \frac{a_1}{a_2}; \quad T_2 = T_1,$$

Учитывая (17), а также то, что на практике e_k увеличивается в k_y раз для создания ускоренной коммутации и k_{y2} обычно больше k_{y1} , получаем

$$e_{k2} = \frac{a_2}{a_1} \cdot \beta^2_1 \cdot \frac{k_{y2} \cdot k'_2}{k_{y1} \cdot k'_1} \cdot e_{k1}, \quad (18)$$

где k_y — коэффициент ускорения коммутации.

Число витков обмотки дополнительного полюса (W_d)

В нормально выполненных машинах магнитная цепь дополнительных полюсов должна быть ненасыщенной и падением намагничивающей силы в ее стальных участках можно пренебречь. Тогда

$$w_d = \frac{F_{p_{d1}} + F_{\delta_d}}{I_a}; \quad F_{\delta_d} = m \cdot B_{\delta_d}; \quad B_{\delta_d} = \frac{e_k}{2w_s \cdot v \cdot l}. \quad (19)$$

Здесь

$F_{p_{d1}}$ — н. с. реакции якоря ($F_{p_{d2}}=F_{p_{d1}}$),

F_{δ_d} — н. с. воздушного зазора под дополнительным полюсом,

I_a — ток якоря ($I_{a2}=I_{a1}$),

B_{δ_d} — индукция в воздушном зазоре под дополнительным полюсом,

m — коэффициент пропорциональности между F_{δ_d} и B_{δ_d} ($m_2=m_1$),

V — линейная скорость якоря ($V_2=V_1$).

После преобразований с учетом (12), (18), (19) получаем

$$B_{\delta_{d2}} = \beta_1 \frac{k_{y2} \cdot k'_2}{k_{y1} \cdot k'_1} B_{\delta_{d1}}; \quad w_{d2} = \frac{1 + \beta_1 \cdot \frac{k_{y2} \cdot k'_2}{k_{y1} \cdot k'_1} \cdot \frac{F_{\delta_{d1}}}{F_{p_{d1}}}}{1 + \frac{F_{\delta_{d1}}}{F_{p_{d1}}}} \cdot w_{d1}. \quad (20)$$

Сечение дополнительного полюса (S_d), спинки якоря (S_a) и ярма индуктора (S_j)

Как указывалось выше, при переходе к ВМК изменяется ширина коммутационной зоны (табл. 1) и индукция в зазоре под дополнительным полюсом (20). Очевидно, что при переходе к ВМК поток в магнитных участках цепи дополнительного полюса изменится в

$$\beta_1 \cdot \frac{k_{y2} \cdot k'_2 b_{k32}}{k_{y1} \cdot k'_1 \cdot b_{k31}} = A \text{ раз.}$$

Если индукции в магнитных участках цепи дополнительного полюса в машине с обычной коммутацией выбраны правильно (нет насыщения), то, исходя из их сохранения, получаем

$$S_{d2} = AS_{d1}; \quad S_{a2(j2)} = \frac{1 + A \frac{\Phi_{d1}}{\Phi_{r1}}}{1 + \frac{\Phi_{d1}}{\Phi_{r1}}} \cdot S_{a1(j1)}, \quad (21)$$

где Φ_d и Φ_r — магнитные потоки дополнительного и главного полюсов.

В табл. 3 в качестве примера приведены найденные с учетом (1) — (21) и табл. 1 и 2 соотношения параметров машин при $U_{n1}=2—4$; $\beta_1=(0,75—1,0)U_{n1}$; $\varepsilon_k \leq U_n$; $a_2=a_1$; $b_2=b_1$; $l_{k2}=0,5 l_{k1}$; $U_{n2}=\beta_2=1$; $k_{y1}=1,15$; $k_{y2}=1,5—2$; $\frac{\Phi_{d1}}{\Phi_{r1}}=0,1—0,2$; $F_{\delta d1}/F_{ry1}=0,05—0,2$. Цифры, стоящие в табл. 3 слева, относятся к значениям $\beta_1=1,5$, а справа — к $\beta_1=4$.

Таблица 3

K_2/K_1	j_{sh2}/j_{sh1}	Z_2/Z_1	$\frac{W_{s2}}{W_{s1}} = \frac{r_{s2}}{r_{s1}}$	L_{s2}/L_{s1}	L_{sp2}/L_{sp1}	
					$\varepsilon_{k2}=0$	$\varepsilon_{k2}=1$
0,67—0,25	2	1,33—1,0	1,5—4	2,25—16	1,69—9,5	0,88—4,73
$\varepsilon_{k2}/\varepsilon_{k1}$		$B_{\delta d1}/B_{\delta d1}$		W_{d2}/W_{d1}		
$\varepsilon_{k2}=0$	$\varepsilon_{k2}=1$	$\varepsilon_{k2}=0$	$\varepsilon_{k2}=1$	$\varepsilon_{k2}=0$	$\varepsilon_{k2}=0$	$\varepsilon_{k2}=1$
2,2—16,5	1,15—8,25	1,47—4,12	0,735—2,06	1,02—1,52	0,98—1,18	
Род обмотки	b_{k32}/b_{k31}		S_{d2}/S_{d1}		$S_{a2(j2)}/S_{a1(j1)}$	
	$\varepsilon_{k2}=0$	$\varepsilon_{k2}=1$	$\varepsilon_{k2}=0$	$\varepsilon_{k2}=1$	$\varepsilon_{k2}=0$	$\varepsilon_{k2}=1$
Петлевая	0,333—0,572	0,667—1,14	0,49—2,36		0,955—1,23	
Волновая	0,484—0,87	0,775—1,39	0,715—3,62	0,57—2,86	0,975—1,44	0,96—1,31

Выводы

1. Как видно из табл. 3, при переходе от обычной коммутации к ВМК (рис. 2) происходят следующие изменения параметров машины, зависящие в основном от β_1 :

а) уменьшается число коллекторных пластин, число секций, т. е. подразделенность якорной обмотки, что, естественно, приведет к некоторому увеличению пульсации эдс и тока якоря;

б) увеличивается плотность тока в щеточном контакте j_{sh} при неизменных габаритах коллектора (или его габариты — при неизменной плотности тока). Следует отметить, что сохранение j_{sh} при переходе к ВМК не всегда обязательно. Известно [4], что данная схема ВМК может нормально работать при j_{sh} до 50 A/cm^2 , т. е. сдвоенный коллектор по габаритам может и не отличаться от обычного;

в) увеличивается число витков W_s , активное сопротивление r_s и индуктивность L_s секций якоря. Известно [4, 5], что увеличение W_s и L_s не вызывает ухудшения коммутации, как в обычных машинах. Увеличение r_s несколько ухудшает коммутацию при пуске машины в режиме двигателя;

г) в большинстве случаев увеличиваются: результирующая индуктивность секции L_{sp} , индукция под добавочным полюсом $B_{\delta d}$, число витков дополнительного полюса W_d . Ограничить их увеличение можно

укорочением шага обмотки при ВМК $\varepsilon_{k2}=1$. При увеличении W_d несколько увеличиваются и размеры обмотки дополнительного полюса;

д) увеличивается коммутирующая эдс в секции e_k , что физически объясняется увеличением W_s , L_{sp} и необходимостью при ВМК более ускоренной коммутации. Увеличение e_k так же, как и W_s , не вызывает какого-либо ухудшения условий коммутации;

е) ширина коммутационной зоны b_{k3} при $\varepsilon_{k2}=0$ уменьшается, а при $\varepsilon_{k2}=1$ в отдельных случаях — увеличивается;

ж) сечения сердечника дополнительного полюса S_d , спинки якоря S_a и ярма индуктора S_j могут увеличиваться или уменьшаться. В среднем их возможное увеличение меньше, чем e_k или B_{dd} .

2. Соотношения $b_2 \approx b_1$ и $U_{n2}=1$ могут использоваться как исходные при определении параметров машины со схемой ВМК (рис. 2).

3. При переходе к ВМК не происходит какого-либо заметного ухудшения характеристик или существенного увеличения веса машины, а ее коммутационная устойчивость значительно повышается [5].

ЛИТЕРАТУРА

1. О. А. Братковский, В. В. Ивашин, И. А. Милорадов. Схемы вентильно-механической коммутации машин постоянного тока (см. настоящий сборник).
2. П. С. Сергеев и др. Проектирование электрических машин. Госэнергоиздат, 1956.
3. М. П. Костенко, Л. М. Пиотровский. Электрические машины, ч. I. «Энергия», 1964.
4. Bates I., Sridhar T., Thyristor-assisted sliding contact commutation, Proc. Inst. El. Engrs. 1966, Vol 113, № 2.
5. О. А. Братковский, В. В. Ивашин, И. А. Милорадов. Экспериментальная проверка машины постоянного тока с вентильно-механической коммутацией (см. настоящий сборник).